

Теория двупреломления звука в легкоплоскостных ромбоэдрических антиферромагнетиках с учетом гексагональной анизотропии и механических напряжений

© М.Б. Стругацкий, К.М. Скибинский

Таврический национальный университет им. В.И. Вернадского,
Симферополь, Украина

E-mail: Strugatsky@tnu.crimea.ua

(Поступила в Редакцию 22 сентября 2009 г.)

Построенная термодинамическая теория магнитного двупреломления поперечного звука в легкоплоскостных слабых ферромагнетиках с индуцированной граничными условиями аксиальной базисной анизотропией обобщена на случай учета еще и гексагональной анизотропии, усиленной изотропными механическими напряжениями. Рассчитан магнитоупругий вклад ΔC_a в эффективный упругий модуль $C_{44}^{\text{eff}} = C_{44} + \Delta C_a$, определяющий фазовую скорость магнитной моды акустической волны в кристалле. Показано, что индуцированная анизотропия с симметрией второго и шестого порядков приводит к появлению в ΔC_a еще и анизотропного члена, имеющего симметрию четвертого порядка. Развитая теория позволила удовлетворительно описать имеющиеся эксперименты.

1. В работах [1,2] исследовалось линейное двупреломление звука в монокристалле бората железа — ромбоэдрическом легкоплоскостном антиферромагнетике со слабым ферромагнетизмом. Этот эффект, являющийся акустическим аналогом оптического эффекта Коттона—Мутона, впервые экспериментально был обнаружен в карбонате марганца MnCO_3 Гакелем [3] и теоретически обоснован Туровым [4]. Суть эффекта состоит в том, что при распространении поперечной линейно поляризованной звуковой волны вдоль оси третьего порядка ромбоэдрического антиферромагнитного кристалла одна из линейно поляризованных мод не взаимодействует с магнитной подсистемой (немагнитная мода), а вторая весьма существенно взаимодействует с ней (магнитная мода). Скорость звука магнитной моды зависит от магнитного поля, что приводит к снятию вырождения мод по скоростям и, как следствие, сдвигу фаз между модами и эллиптической поляризации прошедшей в кристалле волны. Двупреломление звука определяется магнитным вкладом ΔC в эффективный упругий модуль $C^{\text{eff}} = C + \Delta C$ антиферромагнетика. Этот вклад, возникающий при учете магнитоупругих (МУ) слагаемых в термодинамическом потенциале кристалла, определен в [5]. Теория Турова [4], хорошо работающая в случае карбоната марганца, не приводит к удовлетворительному описанию экспериментов на борате железа. Анализ показал [1,2], что проблема может быть обусловлена большой величиной магнитоупругой связи в борате железа $|\Delta C/C_{44}| \approx 0.8$, не только вызывающей эффекты двупреломления, но и неизбежно приводящей к существенному влиянию на эти эффекты механических граничных условий. Установлено, что расхождение между теорией и экспериментом может быть устранено на основе модели, в соответствии с которой экспериментальные граничные условия, обусловленные контактом кристалла с пьезопреобразователями, индуцируют в базисной плоскости кристалла одноосную магнитную анизотропию (базисно-анизотропная модель [1,2]). Из общих соображений ясно,

что базисная анизотропия любой симметрии в принципе должна в той или иной степени сказываться на двупреломлении звука. Действительно, анизотропия, ограничивая колебания магнитных векторов, вызываемых акустической волной, эффективно проявляется как ослабление МУ-связи, лежащей в основе двупреломления. При этом можно ожидать, что на двупреломление будет влиять даже слабая базисная анизотропия, поскольку в выражение для магнитной добавки ΔC константы, определяющие эту анизотропию, должны входить умноженными на обменное поле (обменное усиление, см. [1,2]).

Целью настоящей работы является теоретическое исследование влияния кристаллографической гексагональной магнитной анизотропии и механических напряжений на эффекты магнитного двупреломления звука в легкоплоскостных слабых ферромагнетиках.

2. Проявление гексагональной базисной анизотропии и механических граничных условий в магнитном двупреломлении звука экспериментально обнаружено и исследовано в легкоплоскостном слабоферромагнитном монокристалле гематита [6,7], обладающего рекордно большой величиной магнитоупругой связи $|\Delta C/C_{44}| \approx 0.9$. Эксперименты проводились на синтетических монокристаллах $\alpha\text{-Fe}_2\text{O}_3$ при комнатной температуре, когда гематит находится в слабоферромагнитной фазе. Звук возбуждался и регистрировался, как и в борате железа [1,2], пьезопреобразователями, укрепленными на базисных гранях образца. Поперечная акустическая волна распространялась вдоль оси 3_z кристалла, ее амплитуда на выходе из кристалла зависела от магнитного поля $A(H)$, причем эта зависимость, как и в карбонате марганца и борате железа, носила осцилляционный характер (осцилляции Гакеля—Турова [1,2]). Поворачивая магнитное поле в базисной плоскости, экспериментаторы [6,7] обнаружили смещения пиков кривой $A(H)$. Эти смещения имели хорошо выраженную 60° периодичность с искажениями более низкой симметрии. Отметим,

что попутно авторы [6,7] поставили задачу экспериментальной проверки предложенной нами теоретической модели, предполагающей наличие индуцированной одноосной анизотропии в базисной плоскости [1,2]. Проведя дополнительные исследования, сводящиеся к изучению влияния на двупреломление в гематите поворота пьезообразователей на 90° , они эту модель подтвердили.

При исследовании угловой зависимости амплитуды поперечного звука в гематите [6,7] было обнаружено также, что величина гексагональной анизотропии экспериментального образца существенно превосходит известную для гематита величину [8]. Наблюдаемое возрастание гексагональной анизотропии авторы [6] связывают с тем обстоятельством, что экспериментальный образец не отожжен. Однако проведенный отжиг [7] проблему не устранил — гексагональная анизотропия по-прежнему превосходила известное значение. Можно предположить, что возрастание гексагональной анизотропии вызвано остаточными ростовыми напряжениями в кристалле. Эти напряжения связаны с дефектной структурой реального кристалла, и их сложно полностью устранить даже путем тщательно проведенного отжига. Поскольку симметрия анизотропии сохранилась, можно допустить, что упомянутые напряжения эквивалентны тем, которые могли бы быть вызваны некоторым гидростатическим давлением [9]. В соответствии с кристаллофизическим принципом суперпозиции Кюри гидростатическое давление не изменяет симметрию кристалла. Однако из-за анизотропии упругих и магнитоупругих свойств такое давление при сохранении симметрии может повлиять на величину магнитной анизотропии, в частности гексагональной анизотропии [9].

Рассмотрим влияние базисной анизотропии на магнитное двупреломление звука в гематите теоретически. Поперечная акустическая волна, распространяющаяся вдоль тригональной оси кристалла (ось z), описывается уравнениями динамики [10]

$$\begin{cases} \rho \ddot{u}_x = \frac{1}{2} \frac{\partial^2 F}{\partial u_{xz} \partial z}, \\ \rho \ddot{u}_y = \frac{1}{2} \frac{\partial^2 F}{\partial u_{yz} \partial z}, \end{cases} \quad (1)$$

где u_x, u_y — компоненты вектора смещения, F — плотность термодинамического потенциала,

$$F = F_e + F_{me} + F_m, \quad (2)$$

включающая упругую F_e , магнитоупругую F_{me} и магнитную F_m части. Учет в нашей базисноанизотропной модели [1,2] наряду с одноосной базисной анизотропией, индуцированной аксиальными напряжениями, еще и анизотропию гексагональную — кристаллографическую и вызванную гидростатическим давлением. В плотность термодинамического потенциала включим не индуцированную магнитную анизотропию, а непосредственно ее источники — одноосное P_a и гидростатическое P_h давление. Упругая часть плотности термодинамического

потенциала в этом случае может быть представлена как

$$\begin{aligned} F_e = & \frac{1}{4} (C_{11} + C_{12})(u_{xx} + u_{yy})^2 + \frac{1}{2} C_{66} [(u_{xx} - u_{yy})^2 + 4u_{xy}^2] \\ & + \frac{1}{4} C_{33} u_{zz}^2 + 2C_{44}(u_{xz}^2 + u_{yz}^2) + C_{13}(u_{xx} + u_{yy})u_{zz} \\ & + 2C_{14} [(u_{xx} - u_{yy})u_{yz} + 2u_{xy}u_{xz}] + P_a(u_{xx} \cos^2 \alpha \\ & + u_{yy} \sin^2 \alpha + u_{xy} \sin 2\alpha) + P_h(u_{xx} + u_{yy} + u_{zz}). \end{aligned} \quad (3)$$

Здесь α — угол, образуемый легкой антиферромагнитной осью индуцированной анизотропии второго порядка η_2 с осью x (|| 2, рис. 1); u_{ij} — компоненты тензора деформаций; $C_{ij} \sim 10^{12}$ erg/cm³ — упругие постоянные. Обратим внимание на то, что под u_{ij} мы понимаем полные деформации, включающие статическую и динамическую части. Здесь и далее ось x совпадает с осью симметрии второго порядка кристалла; ось y лежит в плоскости симметрии; z , как и ранее, параллельна тригональной оси.

Обсудим еще одну возможную причину возрастания базисной анизотропии. Дело в том, что экспериментальные граничные условия, обусловленные контактом кристалла с пьезодатчиками, могут вызывать не только уже учтенное нами одноосное давление, но и давление, изотропное в базисной плоскости, — плоскостное „гидростатическое“ давление P_{ph} . Если такой механизм возрастания гексагональной анизотропии имеет место, то возникает дополнительный аргумент в пользу того, что отжиг кристалла не может восстановить его кристаллографическую анизотропию. Упомянутый механизм приводит к необходимости учета в термодинамическом потенциале (3) вместо или вместе с выражением $P_h(u_{xx} + u_{yy} + u_{zz})$ еще и выражения $P_{ph}(u_{xx} + u_{yy})$. Однако наш анализ показал, что появление нового слагаемого принципиально не изменит результаты, к которым приводит термодинамический потенциал в форме (3). Поэтому в дальнейшем будем исходить из выражения (3).

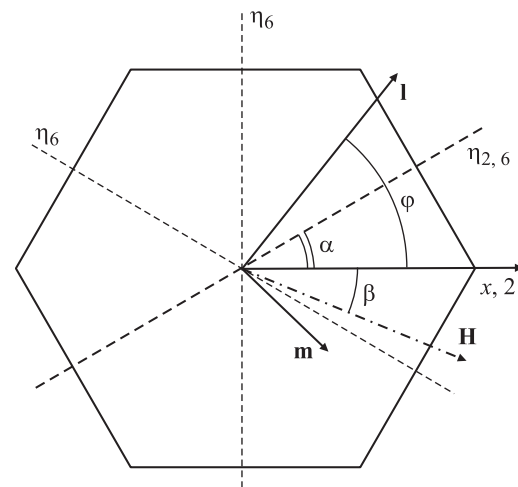


Рис. 1. Ориентация осей и векторов в кристалле гематита. η_2 и η_6 — легкие антиферромагнитные оси второго и шестого порядков. $\alpha = \pi/6$. Ориентация оси η_2 соответствует геометрии первого эксперимента (см. [7]).

МУ и магнитный вклады в плотность термодинамического потенциала (2) определяются выражениями

$$F_{me} = B_{11}(l_x^2 u_{xx} + l_y^2 u_{yy}) + B_{12}(l_x^2 u_{yy} + l_y^2 u_{xx}) + B_{66} l_x l_y u_{xy} + 2B_{14}[2l_x l_y u_{xz} + (l_x^2 - l_y^2)u_{yz}] + 2B_{41}[l_y l_z (u_{xx} - u_{yy}) + 2l_x l_z u_{xy}] + B_{44}(l_x l_z u_{xz} + l_y l_z u_{yz}) + B_{13}(l_x^2 + l_y^2)u_{zz} + B_{31}l_z^2(u_{xx} + u_{yy}) + B_{33}l_z^2 u_{zz}, \quad (4)$$

$$F_m = \frac{1}{2} E m^2 + \frac{1}{2} a l_z^2 + D(l_x m_y - l_y m_x) + \frac{1}{2i} d[(l_x + i l_y)^3 - (l_x - i l_y)^3] l_z + \frac{1}{2} e[(l_x + i l_y)^6 + (l_x - i l_y)^6] - 2M_0 \mathbf{m} \mathbf{H}. \quad (5)$$

В (4) и (5) $B_{ij} \sim 10^7 \text{ erg/cm}^3$ — МУ-постоянные; l_i, m_i — компоненты антиферромагнитного \mathbf{l} и ферромагнитного \mathbf{m} векторов ($\mathbf{l} \perp \mathbf{m}$) соответственно; M_0 — подрешеточная намагниченность; E — обменная постоянная; D — константа Дзялошинского; $a = 4 \cdot 10^5 \text{ erg/cm}^3$, $d \sim 10^3 \text{ erg/cm}^3$, $e \sim d^2/4a \sim 1 \text{ erg/cm}^3$ — константы одноосной, кубической и гексагональной магнитной кристаллографической анизотропии [10,11]; \mathbf{H} — внешнее магнитное поле. Как и в экспериментах [6,7], будем рассматривать вектор \mathbf{H} , лежащий в базисной плоскости кристалла. Далее компоненты векторов \mathbf{m} и \mathbf{l} , для которых справедливы стандартные соотношения $\mathbf{m}^2 + \mathbf{l}^2 = 1$, $m \ll 1 \approx 1$, удобно представить в сферических координатах

$$\begin{cases} l_x = \sin \theta \cos \varphi, \\ l_y = \sin \theta \sin \varphi, \\ l_z = \cos \theta, \end{cases} \quad \begin{cases} m_x = m \sin \varphi, \\ m_y = -m \cos \varphi, \\ m_z = 0, \end{cases} \quad (6)$$

где θ, φ — полярный и азимутальный углы антиферромагнитного вектора (рис. 1).

Минимизируя статическую часть плотности термодинамического потенциала (2), получаем выражения для компонент тензора статических деформаций и модуля ферромагнитного вектора

$$\begin{cases} u_{xx}^0 - u_{yy}^0 = \frac{(2C_{14}B_{14} - C_{44}B_{66}) \cos 2\varphi \sin^2 \theta + (C_{14}B_{44} - 2C_{44}B_{41}) \sin \varphi \sin 2\theta - P_a C_{44} \cos 2\alpha}{2(C_{44}C_{66} - C_{14}^2)}, \\ u_{xy}^0 = \frac{(2C_{14}B_{14} - C_{44}B_{66}) \sin 2\varphi \sin^2 \theta + (C_{14}B_{44} - 2C_{44}B_{41}) \cos \varphi \sin 2\theta - P_a C_{44} \sin 2\alpha}{4(C_{44}C_{66} - C_{14}^2)}, \\ u_{xz}^0 = \frac{(C_{14}B_{66} - 2C_{66}B_{14}) \sin 2\varphi \sin^2 \theta + (2C_{14}B_{41} - C_{66}B_{44}) \cos \varphi \sin 2\theta + P_a C_{14} \sin 2\alpha}{4(C_{44}C_{66} - C_{14}^2)}, \\ u_{yz}^0 = \frac{(C_{14}B_{66} - 2C_{66}B_{14}) \cos 2\varphi \sin^2 \theta + (2C_{14}B_{41} - C_{66}B_{44}) \sin \varphi \sin 2\theta + P_a C_{14} \cos 2\alpha}{4(C_{44}C_{66} - C_{14}^2)}, \\ u_{xx}^0 + u_{yy}^0 = \frac{[2C_{13}B_{13} - C_{33}(B_{11} + B_{12})] \sin^2 \theta + 2(C_{13}B_{33} - C_{33}B_{31}) \cos^2 \theta}{C_{33}(C_{11} + C_{12}) - 2C_{13}^2} + \frac{2P_h(C_{13} - C_{33}) - P_a C_{33}}{C_{33}(C_{11} + C_{12}) - 2C_{13}^2}, \\ u_{zz}^0 = \frac{[C_{13}(B_{11} + B_{12}) - (C_{11} + C_{12})B_{13}] \sin^2 \theta + [2C_{13}B_{31} - (C_{11} + C_{12})B_{33}] \cos^2 \theta}{C_{33}(C_{11} + C_{12}) - 2C_{13}^2} + \frac{P_h[2C_{13} - (C_{11} + C_{12})] + P_a C_{13}}{C_{33}(C_{11} + C_{12}) - 2C_{13}^2}, \end{cases} \quad (7)$$

$$m = \frac{D + 2M_0 H \sin(\varphi + \beta)}{E} = \frac{H_D + H \sin(\varphi + \beta)}{2H_E}. \quad (8)$$

Здесь $H_E = E/4M_0 = 9.2 \cdot 10^6 \text{ Oe}$, $H_D = D/2M_0 = 2.2 \cdot 10^4 \text{ Oe}$ — эффективные поля обмена и Дзялошинского соответственно; β — угол, образуемый магнитным полем с осью x .

Из условия минимума статической части термодинамического потенциала по углу θ с учетом (7) и (8) мы нашли равновесную зависимость угла θ от азимутального угла φ , задаваемого внешним полем и анизотропией,

$$\delta = \theta - \frac{\pi}{2} = \frac{d' \sin 3\varphi + \mu_1 P_a \sin(2\alpha + \varphi)}{a - \mu_0 P_h}. \quad (9)$$

Здесь δ — малый угол выхода вектора \mathbf{l} из базисной плоскости,

$$d' = d + \frac{4C_{14}B_{14}B_{41} - 2C_{44}B_{66}B_{41} + C_{14}B_{44}B_{66} - 2C_{66}B_{14}B_{44}}{2(C_{44}C_{66} - C_{14}^2)},$$

$$\mu_0 = 2 \frac{(B_{11} + B_{12} - 2B_{31})(C_{13} - C_{33})}{C_{33}(C_{11} + C_{12}) - C_{13}^2}$$

$$+ \frac{(B_{13} - B_{33})(2C_{13} - C_{11} - C_{12})}{C_{33}(C_{11} + C_{12}) - C_{13}^2}, \quad \mu_1 = \frac{B_{44}C_{14} - 2B_{41}C_{44}}{2(C_{44}C_{66} - C_{14}^2)},$$

$$\mu_0 \sim \mu_1 \sim B_{ij}/C_{ij} \sim 10^{-5}.$$

Полевая зависимость статического равновесного угла φ также определяется из условия минимума статической части термодинамического потенциала F . Это условие с учетом (7)–(9) сводится к выражению

$$\frac{C_{44}B_{66} + 2C_{14}B_{14}}{2(C_{44}C_{66} - C_{14}^2)} P_a H_E \sin[2(\varphi - \alpha)] + 3\delta d H_E \cos 3\varphi - 6H_E e \sin 6\varphi + M_0 H [H_D + H \sin(\beta + \varphi)] \cos(\beta + \varphi) = 0. \quad (10)$$

Разложим теперь термодинамический потенциал (2) по малым динамическим переменным, в качестве которых достаточно взять динамические части сферического угла $\Delta\varphi$ и компонент тензора деформаций $\Delta u_{xz}\Delta u_{yz}$. В разложении будем учитывать слагаемые до второго порядка малости по динамическим переменным включительно. Динамические части полярного угла $\Delta\theta$ и модуля ферромагнитного вектора Δm оказываются пренебрежимо малыми, поэтому мы их не учитываем. Используемые в [6,7] частоты позволяют считать, что в рассматриваемом случае, как и в [1,2], магнитные колебания квазиравновесным образом следуют за упругими. Это означает, что величину $\Delta\varphi$ можно определить из условия минимума термодинамического потенциала. С учетом (7)–(9) мы нашли

$$\Delta\varphi = -\frac{4H_E B_{14}(\Delta u_{xz} \cos 2\varphi - \Delta u_{yz} \sin 2\varphi)}{M_0\{2H_e H_{\text{mel}} + H[H_D \sin(\beta + \varphi) - H \cos 2(\beta + \varphi)]\} + GH_E}. \quad (11)$$

Подставляя разложение термодинамического потенциала в (1) и принимая во внимание (7)–(11), после некоторых преобразований получаем систему волновых уравнений, описывающих акустическую волну в ромбоэдрическом антиферромагнетике,

$$\begin{cases} \rho \ddot{u}_x = (C_{44} + \Delta C_a \cos^2 2\varphi) \frac{\partial^2 u_x}{\partial z^2} - \frac{1}{2} \Delta C_a \sin 4\varphi \frac{\partial^2 u_y}{\partial z^2}, \\ \rho \ddot{u}_y = (C_{44} + \Delta C_a \sin^2 2\varphi) \frac{\partial^2 u_y}{\partial z^2} - \frac{1}{2} \Delta C_a \sin 4\varphi \frac{\partial^2 u_x}{\partial z^2}. \end{cases} \quad (12)$$

Здесь ΔC_a — МУ-добавка к упругому модулю

$$\Delta C_a = -\frac{4H_E B_{14}^2}{M_0\{2H_e H_{\text{mel}} + H[H_D \sin(\beta + \varphi) - H \cos 2(\beta + \varphi)]\} + GH_E}, \quad (13)$$

где $H_{\text{mel}} = 0.96 \text{ Ое}$ — эффективное магнитоупругое поле [11],

$$\begin{aligned} G(P_a, P_h, \alpha, \varphi) &= (\mu_2 + 18 \frac{\mu_1}{d} \Delta e) P_a \cos 2(\varphi - \alpha) \\ &- 18 \frac{\mu_1}{d} \Delta e P_a \cos(2\alpha + 4\varphi) - 36(e + \Delta e) \cos 6\varphi + 36\Delta e, \end{aligned} \quad (14)$$

$\mu_2 = \frac{2C_{14}B_{14} - C_{44}B_{66}}{C_{14}^2 - C_{44}C_{66}} \sim B_{ij}/C_{ij} \sim 10^{-5}$; Δe — эффективный вклад в гексагональную анизотропию, связанный с гидростатическим давлением, который определен нами в [9]

$$\Delta e = \frac{d^2}{4(a - \mu_0 P_h)}. \quad (15)$$

Выражение (14) содержит базисноанизотропные члены, связанные как с симметрией кристалла, так и с внешним давлением. Интересно отметить, что в (13) наряду с ожидаемыми анизотропными слагаемыми второго и шестого порядков возникает слагаемое, имеющее осевую симметрию четвертого порядка. При этом гидростатическое давление P_h , входящее в знаменатель (15), влияет на анизотропию всех порядков, а не только на гекса-

гональную анизотропию. Аксиальное же давление P_a связано с анизотропными слагаемыми только второго и четвертого порядков. Анизотропию четвертого порядка мы изначально в нашу модель „не закладывали“. Однако противоречия здесь нет: анизотропия четвертого порядка не изменит результирующую симметрию анизотропии, которая в соответствии с уже упомянутым принципом Кюри все равно будет определяться симметрией второго порядка.

Уравнения (12) довольно сложны. Магнитная и немагнитная моды в них „перепутаны“. Для дальнейших расчетов упростим нашу базисноанизотропную модель [1,2]: будем считать, что индуцированная базисная анизотропия однородна вдоль оси z . Это означает, что распределение намагниченности в кристалле также будет однородным. Перейдем теперь к новой системе координат rqz , которая повернута относительно системы xyz вокруг общей оси z на угол -2φ [1,2,4] (рис. 1). В однородном случае такое преобразование координат позволяет разделить переменные в (12) и получить независимые уравнения для немагнитной и магнитной мод акустической волны

$$\begin{cases} \rho \ddot{u}_r = (C_{44} + \Delta C_a) \frac{\partial^2 u_r}{\partial z^2}, \\ \rho \ddot{u}_q = C_{44} \frac{\partial^2 u_q}{\partial z^2}. \end{cases} \quad (16)$$

Обратим внимание на то, что направления поляризации немагнитной \mathbf{q} и магнитной \mathbf{r} моды акустической волны меняются с изменением величины магнитного поля (см. (10)), чего не наблюдалось в базисноизотропном случае [4].

На выходе из кристалла амплитуда акустической гармонической волны, определяемой системой (16), для параллельных и скрещенных поляризаций пьезопреобразователей описывается выражениями (см. [4])

$$\begin{aligned} A_{\perp} &= \sin 2\gamma |\sin(\Delta kh/2)|, \\ A_{\parallel} &= \sqrt{1 - \sin^2 2\gamma \sin^2(\Delta kh/2)}, \end{aligned} \quad (17)$$

где h — толщина кристалла, γ — угол между векторами поляризации падающей волны и ее магнитной моды. Разность волновых векторов Δk магнитной и немагнитной мод определяется как

$$\Delta k = k_r - k_q = \omega \left(\sqrt{\frac{\rho}{C_{44} + \Delta C_a}} - \sqrt{\frac{\rho}{C_{44}}} \right), \quad (18)$$

где ρ — плотность кристалла, ω — частота акустической волны.

На рис. 2 приведены полученные в работе [7] экспериментальные зависимости (точки) величины поля H_m , соответствующего одному из максимумов осцилляционной полевой зависимости амплитуды $A_{\perp}(H)$ акустической волны, от угла β , определяющего ориентацию поля в базисной плоскости относительно оси 2_x (рис. 1). Точки на рис. 2, a соответствуют ориентации пьезоизлучателя под углом 30° к оси 2_x ($\alpha = 30^\circ$), на рис. 2, b — под углом 120° ($\alpha = 120^\circ$). Экспериментальные зави-

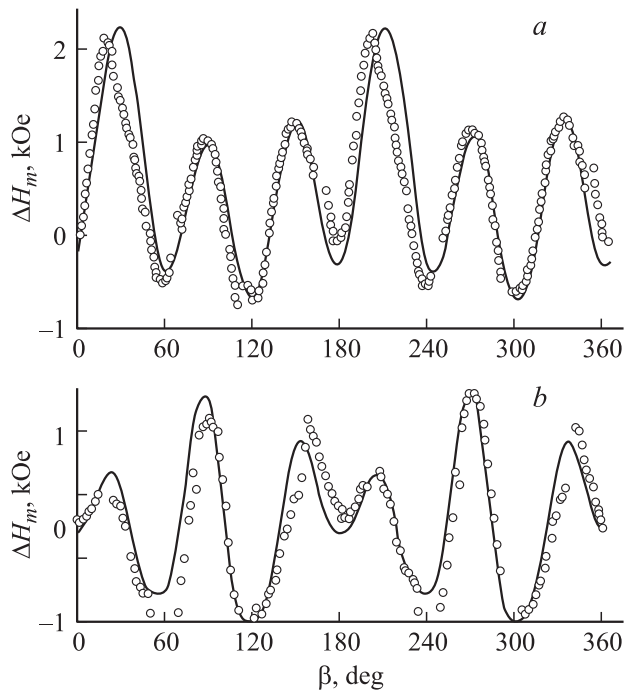


Рис. 2. Угловая зависимость положения максимума кривой $A_{\perp}(H)$. Точки — эксперимент [7], сплошные линии — теория. Ориентация пьезопреобразователя под углом 30° (a) и 120° (b) к оси 2_x .

симости демонстрируют влияние на двупреломление гексагональной анизотропии, на которую накладывается анизотропия более низкой симметрии.

Решая уравнения

$$\partial A_{\perp} / \partial H = 0, \quad (19)$$

соответствующее максимумам кривой $A_{\perp}(H)$ [7], и варьируя входящие в них параметры (давление), можно найти необходимые для сравнения с экспериментом расчетные зависимости $\Delta H_m(\beta) = H_m(\beta) - H_m(0)$. Уравнения (19), записанные для двух случаев геометрии эксперимента, позволили получить кривые $\Delta H_m(\beta)$ (рис. 2), отражающие основные закономерности эксперимента. Обратим внимание на то, что согласие с экспериментом достигается при $P_h \sim 10^{10}$ дин/см² (см. [11]), $P_a \sim 10^8$ дин/см². Важно подчеркнуть, что аксиальное давление по порядку величины совпадает с нашими оценками для бората железа [12]. Анализ показал также, что фигурирующие в эксперименте поля ($H_m(0) = 6$ kOe) при таких давлениях намагничивают кристалл практически до насыщения ($\mathbf{m} \parallel \mathbf{H}$, $\varphi = \pi/2 - \beta$, рис. 1). Это означает, что угол γ в (16) не будет зависеть от величины магнитного поля ($\partial \gamma / \partial H = 0$). В этом случае условие максимума (18) сводится к соотношению

$$\Delta kh = \pi(2n + 1), \quad (20)$$

представляющему собой условие „магнитно-немагнитного“ (межмодового) акустического резонанса. Это урав-

нение с учетом (13), (14) и (18) приобретает вид

$$\begin{aligned} M_0 \Delta H_m(\beta) [H_D + 2H_m(0) + \Delta H_m(\beta)] \\ - [\mu_2 + 18(\mu_1/d)\Delta e] P_a H_E [\cos 2(\alpha + \beta) - \cos 2\alpha] \\ - 18(\mu_1/d) P_a H_E \Delta e [\cos(2\alpha - 4\beta) - \cos 2\alpha] \\ - 36(e + \Delta e) H_E (\cos 6\beta - 1) = 0. \end{aligned} \quad (21)$$

Кривые $\Delta H_m(\beta)$, построенные на основе (21), практически совпадают с кривыми, даваемыми общим уравнением (19) при одних и тех же значениях параметров. Отметим важность для описания экспериментов слагаемого в (21), соответствующего анизотропии четвертого порядка. Без этого слагаемого хорошего согласия с экспериментом получить не удастся, особенно если речь идет о рис. 2, b (ср. [7]). Следует обратить внимание еще и на следующее обстоятельство. Поскольку в рассматриваемом случае выполняется соотношение $H_D + 2H_m(0) \gg \Delta H_m(\beta)$, мы можем упростить уравнение (21), записав его в линейном по переменной ΔH_m приближении. Построенные в этом приближении кривые $\Delta H_m(\beta)$ слабо отличаются от представленных на рис. 2.

В заключение отметим, что теория двупреломления звука для идеального ромбоэдрического кристалла не позволяет адекватно описать эксперименты [7]. К согласию с экспериментами приводит теория, основанная на учете механических напряжений различной симметрии. При этом наблюдаемое в эксперименте увеличение гексагональной анизотропии оказывается естественным следствием изотропных механических напряжений. Константы же кристаллографической анизотропии гематита в наших расчетах не превосходят известные из литературы величины [8].

Список литературы

- [1] Ю.Н. Мицай, К.М. Скибинский, М.Б. Стругацкий, В.В. Тараканов. ФТТ **39**, 901 (1997).
- [2] Yu.N. Mitsay, K.M. Skibinsky, M.B. Strugatsky, A.P. Korylyuk, V.V. Tarakanov, V.I. Khizhnyi. J. Magn. Mater. **219**, 340 (2000).
- [3] В.Р. Гакель. Письма в ЖЭТФ **9**, 590 (1969).
- [4] Е.А. Туров. ЖЭТФ **96**, 2140 (1989).
- [5] В.И. Ожогин, В.Л. Преображенский. ЖЭТФ **73**, 988 (1977).
- [6] И.Ш. Ахмадуллин, С.А. Мигачев, М.Ф. Садыков, М.М. Шакирзянов, ФТТ **46**, 305 (2004).
- [7] И.Ш. Ахмадуллин, С.А. Мигачев, М.Ф. Садыков, М.М. Шакирзянов. ФТТ **47**, 506 (2005).
- [8] М.М. Фарзтдинов. УФН **84**, 611 (1964).
- [9] М.Б. Стругацкий, К.М. Скибинский. ФТТ **51**, 1108 (2009).
- [10] Е.А. Туров, А.В. Колчанов, В.В. Меньшенин, И.Ф. Мирсаев, В.В. Николаев. Симметрия и физические свойства антиферромагнетиков. Физматлит, М. (2001). 560 с.
- [11] М.Н. Seavey. Solid State Commun. **10**, 2, 219 (1972).
- [12] М.Б. Стругацкий, К.М. Скибинский. Учен. зап. ТНУ **19**, 130 (2006).